



# شانزدهمین سمینار ملی مهندسی سطح

بهمن ماه ۱۳۹۴

انجمن علوم و تکنولوژی سطح ایران

## اعمال پوشش سد حرارتی مرکب (FGM) حاصل از تغییر تدریجی توگیب

### شیمیایی روی سوپر آلیاژ پایه نیکل و بررسی رفتار خوردگی داغ آن

امیرحسین پاک سرشت<sup>۱</sup>، امیرحسین جوادی<sup>۲</sup>، محمد رضا جهان نما<sup>۳</sup>

<sup>۱</sup>. پژوهشگاه مواد و انرژی (دکتری)

<sup>۲</sup>. پژوهشکده مهندسی، تهران، ایران (دانشجوی دکتری)

<sup>۳</sup>. پژوهشکده مهندسی، تهران، ایران (دکتری)

#### چکیده

پوشش دهنده مواد می‌تواند سبب افزایش طول عمر و کارایی مواد علی‌الخصوص در دماهای بالا باشد. پوشش‌های سد حرارتی از جمله این موارد است که بر روی فلزات اعمال می‌شوند. این پوشش‌ها معمولاً شامل زیرکونیای پایدار شده با اکسید ایتریم هستند. این ماده به دلیل دانسته پایین، انتقال حرارت کم و مقاومت به شوک حرارتی خوب عایق حرارتی مناسبی برای زیر لایه محسوب شده و از آن به منظور حفاظت حرارتی قطعات بحرانی که در دمای بالا مانند موتورهای هواییما قرار دارند استفاده می‌شود. در این تحقیق بمنظور افزایش خاصیت مقاومت به خوردگی داغ پوشش‌های سد حرارتی و کاهش تنش پسماند بین لایه سرامیکی با لایه فلزی به ترتیب از یک لایه فوکانی الومینی و یک لایه واسط فلزی-سرامیکی استفاده گردید. نتایج نشان داد که مقاومت به خوردگی داغ این پوشش از پوشش‌های متداول سد حرارتی به مرتبه بیشتر است.

**واژه‌های کلیدی:** پوشش سد حرارتی، پوشش چند لایه، خوردگی داغ.

عنوان مقاله تصحیح شود. تصحیح شد.

جمله اول بهتر نوشته شود. (حذف گردید)

<sup>۱</sup>. Ebrahimi@email.com

## مقدمه

استفاده از سرامیک ها بدلیل خواص منحصر بفردی چون پایداری حرارتی و شیمیایی بالا و رفتارهای مکانیکی و الکتریکی متفاوت که در محیط های مختلف از خود نشان می دهند امروزه توجه گسترده ای را برای کاربردهای مختلف به خود اختصاص داده اند. ساخت قطعات حجمی سرامیکی با توجه به کاربردی که برای آن تعریف شده است ممکن است مقرن به صرفه نباشد لذا امروزه استفاده از پوشش های سرامیکی روی مواد مختلف زیر لایه در برابر محیط هایی مثل محیط های خورنده و ساینده مطرح شده است. به گونه های که این پوشش ها در بسیاری از موارد جایگزین فلزات و قطعات گران قیمت با خواص ویژه شده است.

پوشش های سد حرارتی نسبتاً ضخیم (۱۰۰ تا ۵۰۰ میکرومتر) و از جنس مواد سرامیکی و مقاوم به حرارت می باشند که از زیر لایه فلزی در برابر دماهای بسیار زیاد محافظت میکنند. در داغ ترین مناطق موتور تورین های گازی، امکان استفاده از این پوشش ها در محیط های گاز با دماهای بالاتر از نصف دمای ذوب شان فراهم است [۱]. پوشش های سد حرارتی با روش هایی ایجاد می شوند که توانایی اعمال انرژی کافی برای ذوب یا تبخیر ماده اولیه را داشته باشند. از جمله روش هایی که توانایی تولید این انرژی بالا را دارند می توان پاشش پلاسمای در اتمسفرهوا (APS) رسوپ فیزیکی از فاز بخار به کمک پرتوی الکترونی (EB-PVD) اشاره کرد [۴-۲]. معمولاً برای از بین عدم انطباق حرارتی بین پوشش سرامیکی و زیر لایه فلزی از پوشش های چند گانه یا پوشش استفاده می شود در مقایسه با پوشش های دو لایه یا معمولی در این گونه از پوششها معمولاً از یک یا چند لایه میانی که محلولی از پوشش سرامیکی و پوشش Bond است استفاده می شود [۸-۴]. خوردگی داغ که مهمترین عامل تخریب پوشش های سد حرارتی است نوعی اکسیداسیون تسریع شده در اثر وجود رسوبات می باشد. این رسوبات می تواند ناشی از تجمع نمک هایی مانند  $V_2O_5$ ،  $Na_2SO_4$  و  $NaCl$  باشد این نمک ها می توانند با یکدیگر ترکیب شده و تشکیل رسوب مذاب دهند. در این تحقیق با اعمال لایه آلومینیمی روی لایه فوکائی متداول خواص مقاومت به خوردگی داغ پوشش بررسی شد.

## مواد و روش تحقیق

در این پژوهش برای ایجاد پوشش ها از دستگاه پاشش پلاسمای اتمسفرهوا با نامگ Metco3MB استفاده می شود. به منظور ثابت نگه داشتن نمونه ها در طول لایه نشانی از یک نوع فیکسجر خاص استفاده خواهد شد. همچنین از گاز آرگون (Ar) به عنوان گاز اولیه پلاسما و گاز حامل پودر و از هیدروژن ( $H_2$ ) به عنوان گاز ثانویه استفاده خواهد شد. پارامترهای پاشش پلاسما براساس داده هایی که توسط شرکت های تولید کننده پودرها (سولزر متکو) تدوین شده تنظیم می شوند. پارامترها پوشش دهی عمدتاً براساس نقطه ذوب و اندازه دانه های پودرها و همچنین متناسب با درصد تخلخل مطلوب، انتخاب می شوند. زیر لایه از جنس سوبرآلیاژ پایه نیکل انتخاب گردید.

شانزدهمین سیمار ملی مهندسی سطح

از پودر NiCrAlY با کد تجاری Metco 442 جهت ایجاد پوشش فلزی میانی استفاده شد. شکل ۱ نیز تصویر میکروسکوب الکترونی از مورفولوژی پودر را نشان می‌دهد که همانطور که مشاهده می‌شود پودرها دارای مورفولوژی کروی می‌باشد.

به منظور ایجاد پوشش سرامیکی از پودر زیرکونیای پایدار شده با ایتریا با کد تجاری 204NS استفاده گردید. شکل ۲ نیز تصویر میکروسکوبی الکترونی پودر YSZ را نشان می‌دهد. همان طور که مشاهده می‌شود ذرات دارای مورفولوژی کروی بوده و توزیع تقریباً یکسانی از نظر اندازه دارند.

به منظور ایجاد لایه رویی در پوشش کامپوزیت لایه‌ای (YSZ/micro Al<sub>2</sub>O<sub>3</sub>) از پودر آلمینی میکرون با خلوص بالا و کد تجاری Metco 105 NS استفاده گردید. شکل ۳ تصویر میکروسکوب الکترونی از پودر را نشان می‌دهد. مورفولوژی پودر غیر کروی بوده و فقط دارای فاز آلفا  $\alpha$  است که مناسب‌ترین فاز آلمینی برای پاشش پلاسمایی می‌باشد.

## نتایج و بحث

شکل ۴ تصویر میکروسکوب الکترونی از سطح مقطع پوشش TBC-FGM با لایه فوقانی آلمینی را نشان می‌دهد. حضور یک لایه میانی کامپوزیتی 60%YSZ+40%NiCrAlY و یک لایه بالایی از جنس الومینا به صورت لایه‌ای متخلخل، از ویژگی پوشش‌های ایجاد شده به روش پاشش پلاسمایی کاملاً مشهود است. وجود ذرات و پودرهای سرامیک که به دلیل دمای ذوب بالا کمتر تغییر شکل داده اند در بین لایه‌های کاملاً تغییر شکل یافته NiCrAlY کاملاً مشخص است که نشان از ایجاد یک لایه ترکیبی کاملاً مطلوب می‌باشد.

بنظرور مشاهده بهتر توزیع عناصر تشکیل دهنده لایه‌ها تصویر ۵ تصویر نقشه ساختاری از سطح مقطع پوشش‌های چند لایه با سطح فوقانی آلمینی را نشان می‌دهد. وجود ۵ لایه مجزا در این تصاویر بخوبی مشخص است.

شکل ۶ تصاویر میکروسکوب الکترونی پس از آزمون خوردگی داغ را با اشکارهای الکترونی برگشتی و ثانویه از سطح پوشش FGM-TBC با لایه فوقانی میکرو آلمینی را نشان می‌دهد. همان طور که مشاهده می‌شود احتمال وجود سه فاز در این تصویر بخوبی مشخص است برای بررسی این فازها آنالیز EDX بر روی نقاط A، B و C گرفته شد که نتایج آنها در تصاویر ۷ تا ۹ و حداول ۱ تا ۳ اورده شده است با توجه به نتایج نقطه A مربوط به فاز غنی از ایتریم و وانادیم است که از زیرکونیم تخلیه شده است. نقطه B مربوط به آلمینی و نقطه C مربوط به نقاط کوچک زیرکونیا است.

مکانیزم‌های تخریب ناشی از خوردگی داغ در پوشش‌های سد حرارتی، تحت شرایط سرویس می‌تواند متعدد باشد. رسوبات ممکن است هم روی زیرکونیا و هم روی پوشش میانی فلزی اثر بگذارد و این اثر ممکن است شیمیایی یا مکانیکی باشد. تمک مذاب از طریق تخلخل‌ها و ترک‌های موجود در پوشش زیرکونیایی می‌تواند به لایه میانی فلزی برسد و با آن واکنش دهد. تشکیل زیرکونیای منو کلینیک و افزایش سرعت تفجوشی زیرکونیا در حضور اکسیدهای موجود آمده ناشی از واکنش شیمیایی رسوبات با فازهای پایدار کننده منجر به

تخریب پوشش های سد حرارتی بر پایه زیر کونیا می شود. به طور اساسی تشكیل زیر کونیای مونو کلینیک و افزایش سرعت تف جوشی باعث افزایش تجمع نتش ها در لایه زیر کونیایی می شود. تغییر فاز زیر کونیای ترا گونال شه پایدار<sup>۱</sup> ( $t^{\prime}$ ) به فاز مونو کلینیک افزایش حجمی حدود ۴ درصد را به همراه دارد که می تواند منجر به تخریب پوشش یکپارچه زیر کونیایی شود. تف جوشی باعث اثرات منفی روی خواص مکانیکی پوشش به دلیل افزایش مدول یانگ می شود، همچنین نفوذ رسوبات مذاب به داخل ریز ساختار متخلخل زیر کونیا باعث به وجود آمدن نتش های اضافی به دلیل عدم انتباط ابساط حرارتی بین رسوبات و زیر کونیا می شود. با اعمال پوشش آلومینا می توان از نفوذ بیشتر نمک های ذوب شده پر روی پوشش زیر کونیا جلوگیری کرد که این موضوع باعث افزایش مقاومت په اکسیداسیون می گردد.

### نتیجه گیری

در نمونه های TBC کامپوزیت لایه ای، وجود یک لایه متراکم روی پوشش YSZ، نفوذ اکسیژن و نمک های مذاب به داخل ساختار TBC را کاهش داده و باعث بهبود خوردگی داغ در مقایسه با پوشش های متداول شد. در آزمون خوردگی داغ، واکنش نمک های مذاب با پایدار کننده زیر کونیا، باعث تخریب پوشش ها می شود.

---

<sup>1</sup>. Metastable Tetragonal

مراجع

- 1- Li. Chang-Jiu, Li. Jing-Long," Evaporated-gas-induced splashing model for splat formation during plasma spraying", Surface and Coatings Technology, vol. 184,pp. 13-23,2004.
- 2- A. W. Batchelor, L. N. Lam, M. Chandrasekaran, " Materials degradation and its control by surface engineering", 2nd Edition, Imperial College Press, London 2003.
- 3-A. Samuli, " Modified thick thermal barrier coating , " Ph.D. Dissertation , Institute of Materials Science, Tampere University of Technology,2004.
- 4-K.A. Khor," Microstructure formation in plasma-sprayed functionally graded NiCoCrAlY/yttria-stabilized zirconia coatings", Surface and Coatings Technology,Vol. 114 pp.181–186,1999.
- 5-K.A. Khor ,Z.L. Dong, Y.W. Gu," Plasma sprayed functionally graded thermal barrier coatings", Materials Letters ,Vol. 38 Pp. 437–444, 1999.
- 6-K.A. KhorU, Y.W. Gu," Thermal properties of plasma-sprayed functionally graded thermal barrier coatings", Thin Solid Films, Vol. 372. Pp.,104-113,2000.
- 7-Demirkiran AS, Avci E. "Evaluation of functionally gradient coatings produced by plasma-spray technique". Surf Coatings Technol; Vol. 116, pp. 292 –295, 1999.
- 8-Demirkiran AS, C, elik E, Avci E."Evaluation of functionally gradient materials after thermal shock". Proceedings of the Fifth International Fracture Conference, vol.10. September 2001:1341–1344.

جدول ۱: نتیجه آنالیز عنصری از نقطه A در شکل ۶

Spectra: MICRO-A				
Element	Series	unn. C [wt.-%]	norm. C [wt.-%]	Atom. C [at.-%]
Oxygen	K series	6.13	5.51	22.68
Vanadium	K series	30.62	27.50	35.58
Yttrium	L series	52.91	47.51	35.22
Gold	M series	21.70	19.49	6.52
Total: 111.4 %				

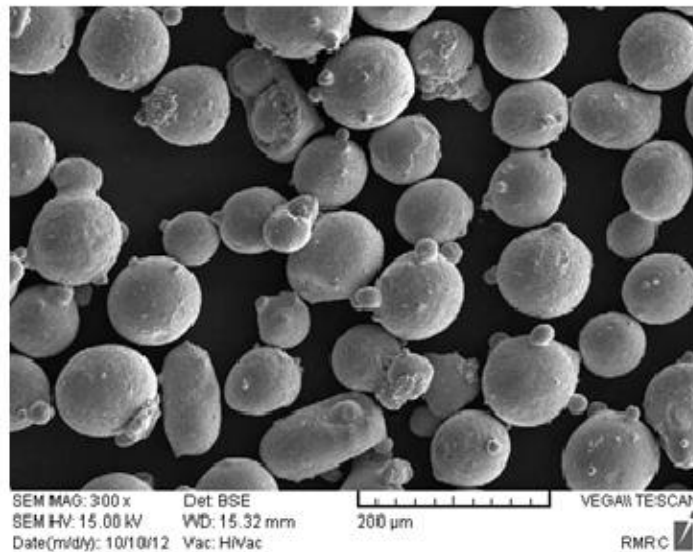
جدول ۲: نتیجه آنالیز عنصری از نقطه B در شکل ۶

Spectra: MICRO-B				
Element	Series	unn. C [wt.-%]	norm. C [wt.-%]	Atom. C [at.-%]
Oxygen	K series	44.81	48.23	63.96
Aluminium	K series	41.72	44.90	35.30
Gold	M series	6.39	6.87	0.74
Total: 92.9 %				

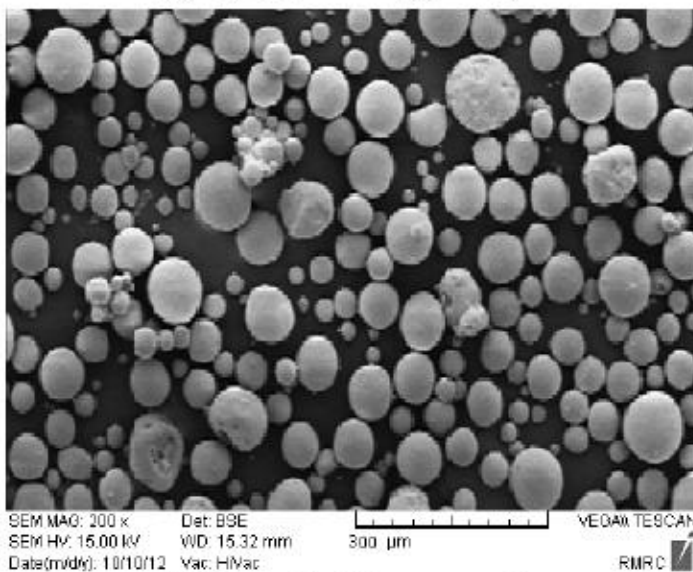
جدول ۳: آنالیز عنصری از نقطه C در شکل ۶

Spectra: MICRO-C				
Element	Series	unn. C [wt.-%]	norm. C [wt.-%]	Atom. C [at.-%]
Oxygen	K series	14.52	12.56	42.55
Aluminium	K series	10.13	8.77	17.61
Yttrium	L series	4.59	3.97	2.42
Zirconium	L series	61.12	52.88	31.42
Gold	M series	25.21	21.81	6.00
Total: 115.6 %				

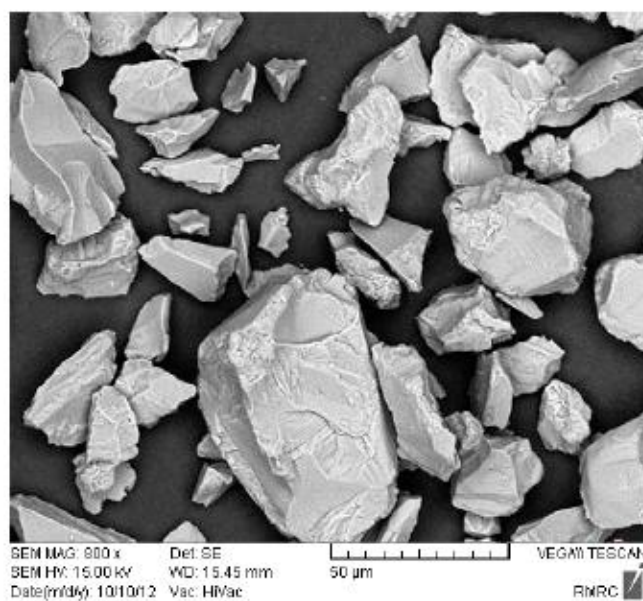
شانزدهمین سیمینار ملی مهندسی سطح



شکل ۱: تصویر SEM پودر لایه میانی



شکل ۲: تصویر SEM پودر YSZ



شكل ۳: تصویر SEM پودر آلمینا

Nanc-A 2C 3

TBC

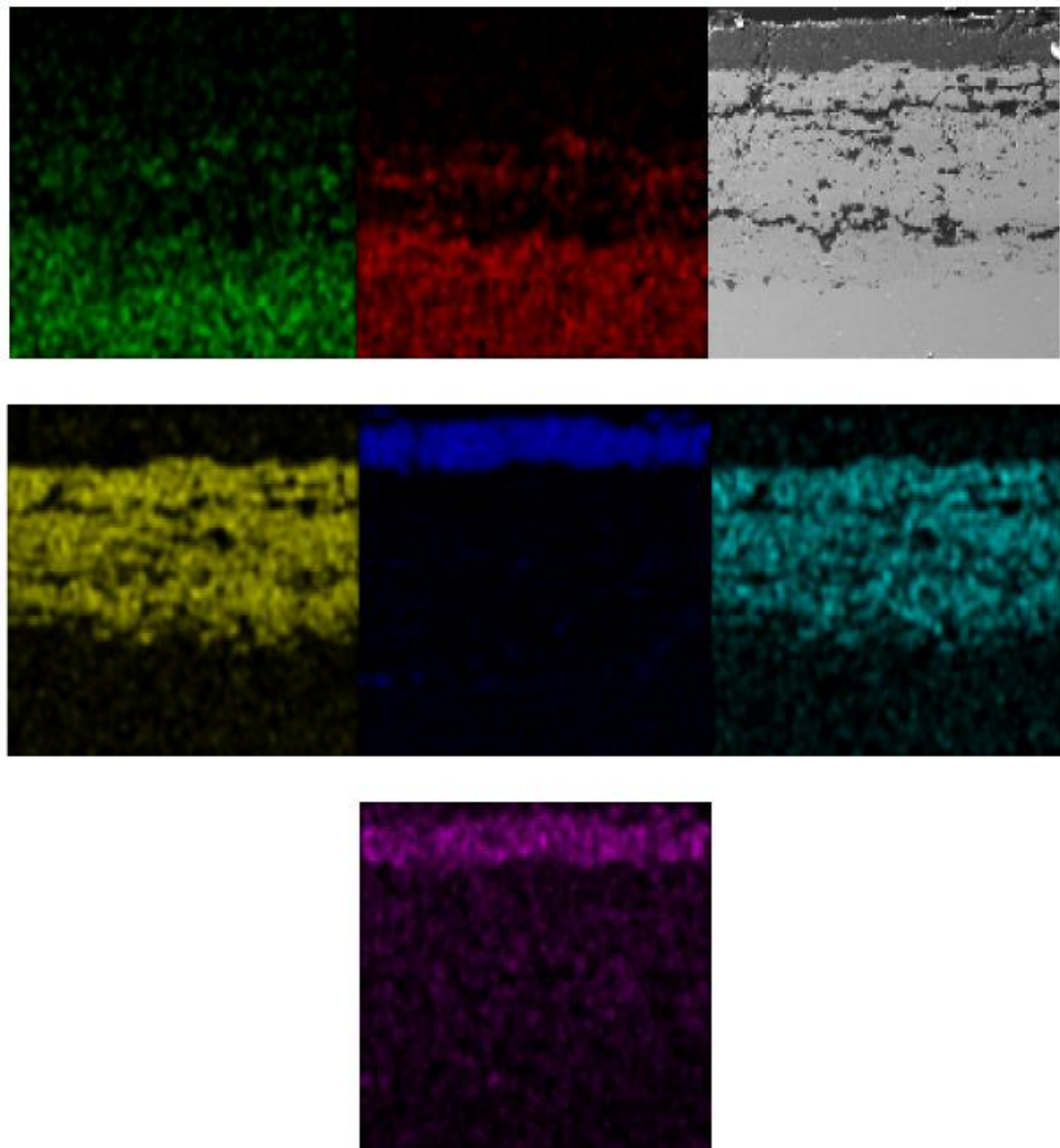
FGM

MCrAlY

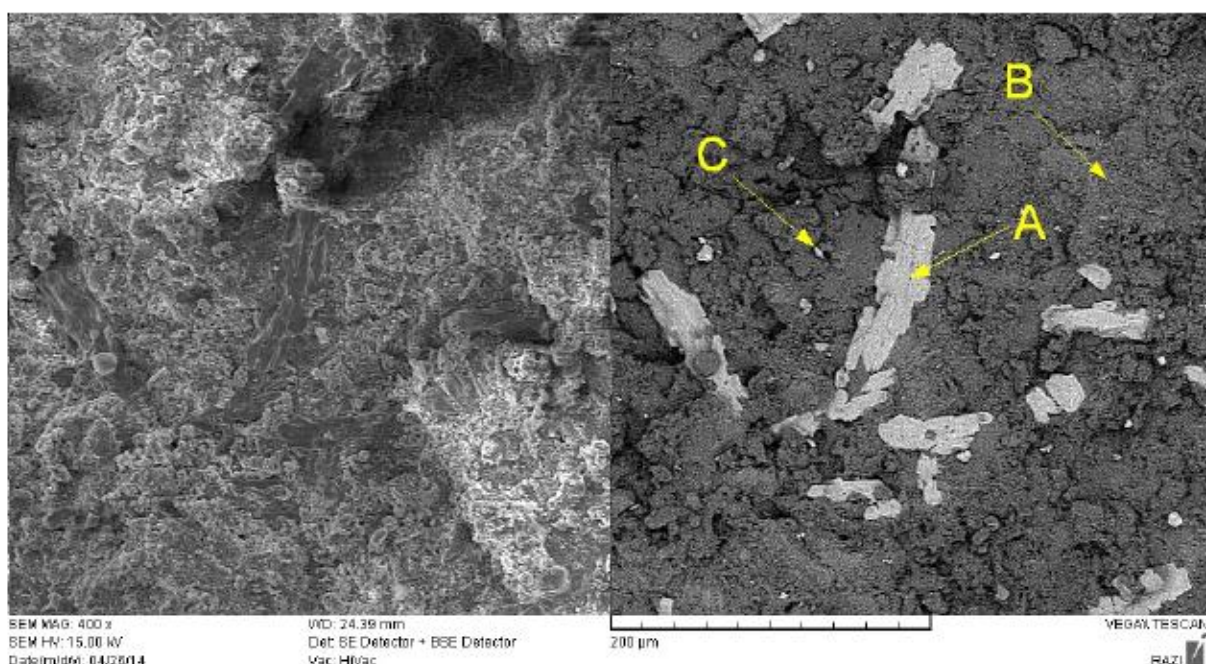
SUBSTRATE

شكل ۴: تصویر میکروسکوپ الکترونی از سطح مقطع پوشش سد حرارتی چند لایه با لایه فوقانی آلمینا

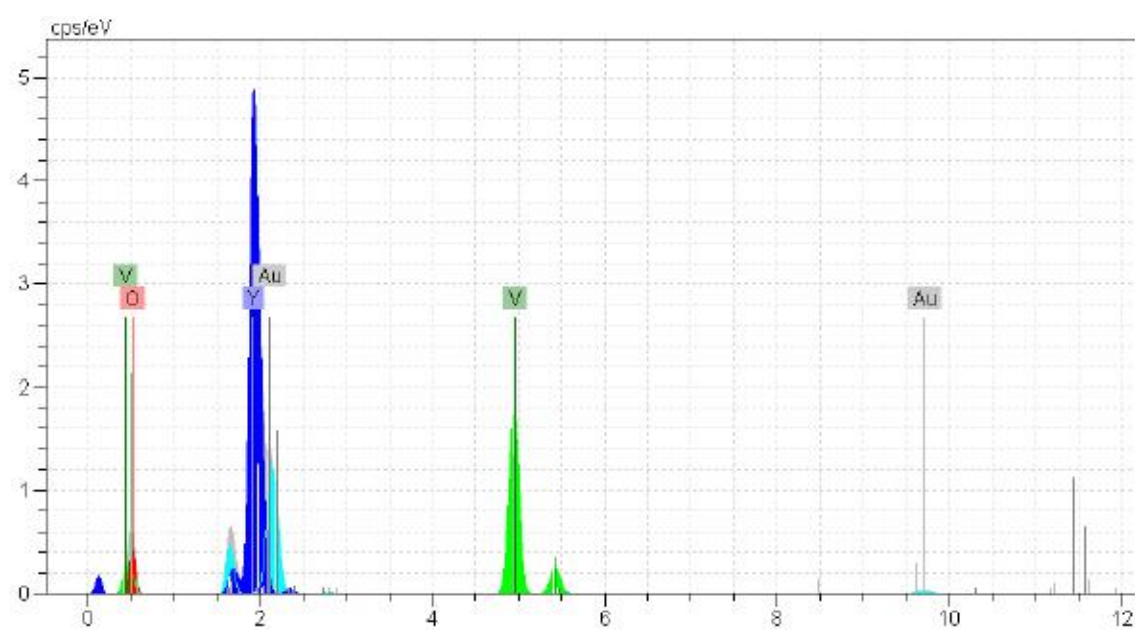
شانزدهمین سیمینار ملی مهندسی سطح



شکل ۵: تصویر آنالیز MAPPING از سطح مقطع پوشش سد حرارتی کامپوزیت لایدی با لایه فوکانی میکرو  $\text{Al}_2\text{O}_3$

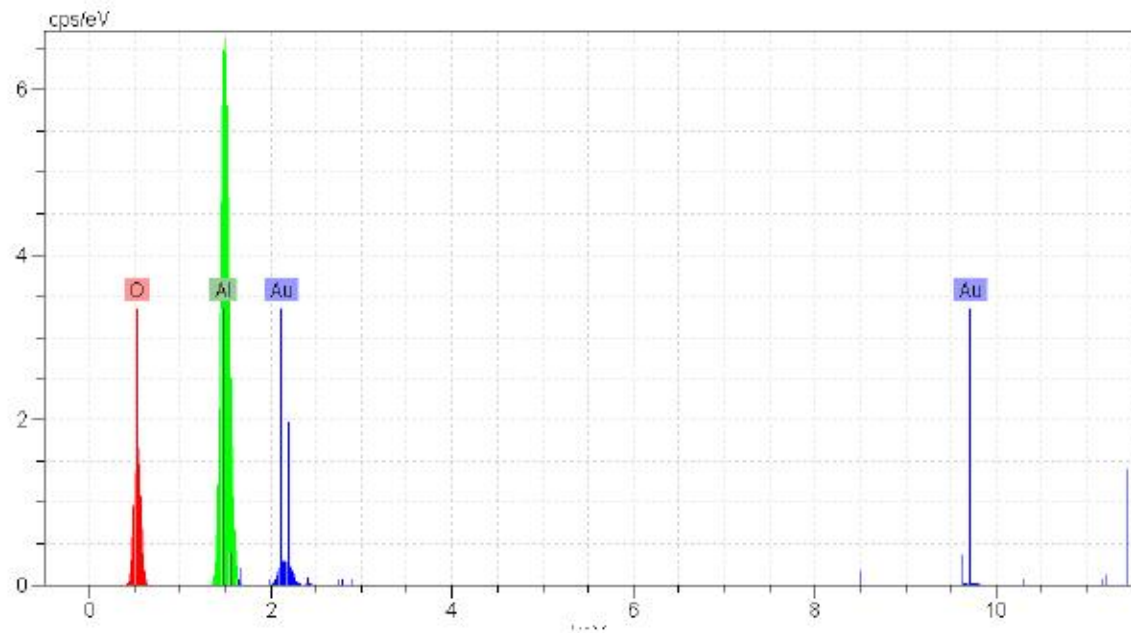


شکل ۶: تصویر میکروسکوب الکترونی پس از آزمون خوردگی داغ از سطح نمونه میکرو آلومینا

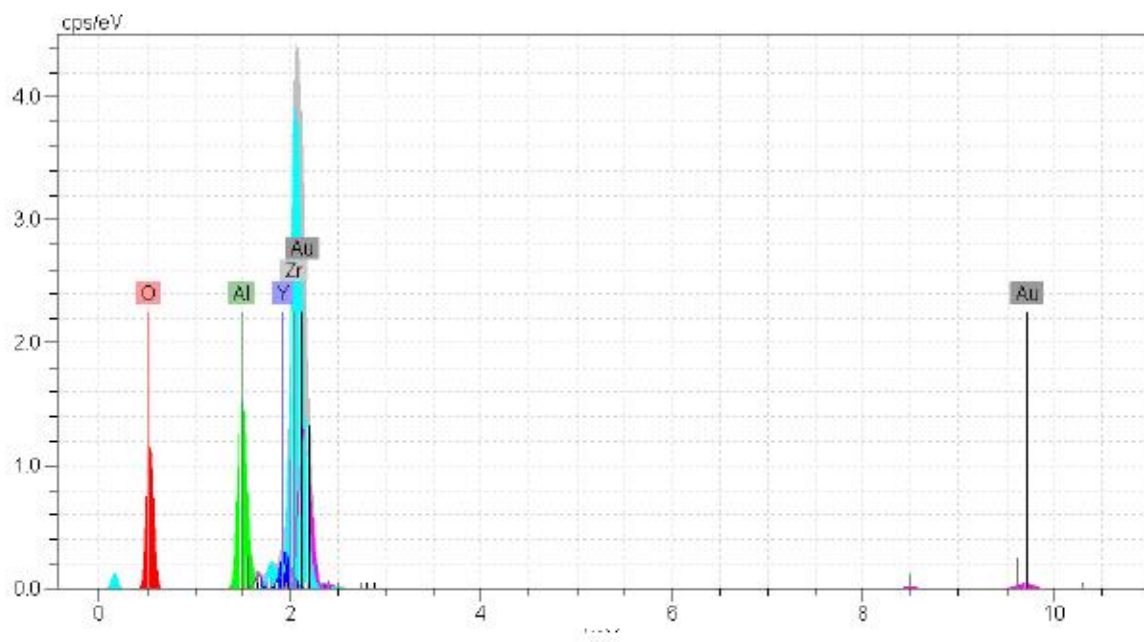


شکل ۷: آنالیز عنصری از نقطه A در شکل ۶

شانزدهمین سیمار ملی مهندسی سطح



شکل ۸: آنالیز عنصری از نقطه B در شکل ۶



شکل ۹: آنالیز عنصری از نقطه C در شکل ۶